

Chapitre III : Transitions Radiatives.

1. Probabilités de Transition :

Un atome excité occupe des états métastable, il subit des transitions vers les états plus bas. On distingue deux types de transitions :

1- Transitions spontanées qui ont lieu spontanément sans en absence de perturbation extérieur.

2- Transitions induites qui ont lieu suite à l'action du champ électromagnétique de l'onde d'excitation (champ extérieur). Parmi les transitions induites, on distingue :

- Transitions dipolaires électriques

- " quadrupolaires "

- " dipolaires magnétiques

- " quadripolaires magnétiques ; etc.

Par la suite on s'intéresse uniquement aux transitions dipolaires électriques qui donnent les raies optiques les plus intenses.

Dans le cadre de la MQ et perturbations dépendantes du temps ; on

Considérons :

dans le cas libré $\nabla V(x) \neq 0$, N_i atomes dans l'état i d'énergie E_i .

$$H_0 \Psi_i = i\hbar \frac{\partial \Psi_i}{\partial t}$$

Comme H_0 ne dépend pas de $t \Rightarrow$ sol. $\Psi_i(x, t) = e^{\frac{i}{\hbar} E_i t} \Psi_i(x)$.

À $t = 0$, lorsque la perturbation $V(x_0)$ est active, N_n atomes seront dans l'état n d'énergie E_n :

$$[H_0 + V(x_0)] \Psi_n = c\hbar \frac{\partial \Psi_n}{\partial t}$$

La sol est de type : $\boxed{\Psi_n = \sum_i a_{n,i}(t) \Psi_i}$

$$i\hbar \sum_i \dot{a}_{n,i} \psi_i + i\hbar \sum a_{n,i} \frac{\partial \psi_i}{\partial t} = \sum_i a_{n,i} H_0 \psi_i + \sum_i a_{n,i} V(x,t) \psi_i$$

$$\Rightarrow i\hbar \sum_i \dot{a}_{n,i} \psi_i = \sum_i a_{n,i} V(x,t) \psi_i$$

En multipliant par ψ_k^* puis en intégrant, on aura :

$$i\hbar \sum_i \int \dot{a}_{n,i} \psi_k^* \psi_i dV = \sum_i \int a_{n,i} \psi_k^* V(x,t) \psi_i dV$$

$$\Rightarrow i\hbar \dot{a}_{n,k} = \sum_i a_{n,i} V_{ki}$$

$$\text{où } V_{ki} = \int \psi_k^* V(x,t) \psi_i dV = e^{\frac{i\omega_{ki}t}{\hbar}} (E_i - E_k) \int U_{ki}(x) V(x,t) U_i(x) dx = e^{\frac{i\omega_{ki}t}{\hbar}} U_{ki}$$

on note ici que la probabilité de transition $i \rightarrow n$ est définie par.

$$P_{i,n} = \frac{N_n}{N} = |a_{n,i}|^2, \text{ où } \sum_i |a_{n,i}|^2 = 1.$$

Si $V(x,t) \ll H_0$, alors après un instant t . $\psi_n \approx \psi_i$.

et $a_{n,n} \approx 1$ et $a_{n,i} \approx 0 \quad \forall i \neq n$.

$$\text{Donc: } \dot{a}_{n,k} = -\frac{i}{\hbar} V_{k,n}$$

pour une perturbation d'une onde EM monochromatique polarisée linéairement : $E_n = E_0 \cos(Kz - \omega t) \approx E_0 \cos(\omega t)$.

Car. optique : $\lambda = \lambda_0 / n \rightarrow \lambda = c/v = 3 \cdot 10^{10} / \omega \approx 3 \cdot 10^8 \text{ A}^{-1} \Rightarrow K = \frac{k\pi}{\lambda} \ll, \alpha \approx A^0 \Rightarrow K\alpha \ll$

$$\text{on a: } E_n = -\frac{dV}{dx} \Rightarrow \int_0^x E_n du = -\int_0^x dV \Rightarrow V = -E_0 x \cos \omega t$$

$$\Rightarrow V_p = (-e)V = eE_0 x \cos \omega t.$$

$$\Rightarrow V_{kn} = \langle k | V | n \rangle = eE_0 \cos \omega t \cdot X_{kn} \quad \text{avec } X_{kn} = \int U_k^* x U_n dx$$

$$\text{Donc: } \frac{da_{nk}}{dt} = -\frac{i}{\hbar} eE_0 X_{kn} \cdot e^{-i\omega_{kn}t} \cos \omega t.$$

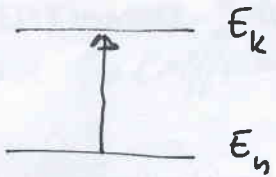
$$= \frac{eX_{kn}}{2\hbar} (-i) \left(e^{-i(\omega_{kn}+\omega)t} + e^{-i(\omega_{kn}-\omega)t} \right)$$

$$\int_0^{a_{nK}} da_{nK} = \int_0^t \frac{e X_{Kn}}{e h} (-i) \left[e^{-i(\omega_{Kn} + \omega)t} + e^{-i(\omega_{Kn} - \omega)t} \right] dt$$

$$\Rightarrow a_{nK}(t) = \frac{e X_{Kn} E_0}{e h} \left[\frac{1 - e^{-i(\omega_{Kn} + \omega)t}}{(\omega_{Kn} + \omega)} + \frac{1 - e^{-i(\omega_{Kn} - \omega)t}}{(\omega_{Kn} - \omega)} \right]$$

Rq

Absorption



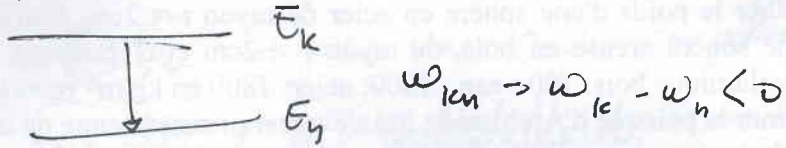
$$\omega_{Kn} = \omega_K - \omega_n > 0$$

$\omega_{Kn} + \omega \gg 1 \Rightarrow 1^{\text{er}} \text{ terme négligeable}$

$$|a_{nK}(t)|^2 = a_{nK}^* a_{nK} = \left(\frac{e}{h} \right)^2 |X_{Kn}|^2 E_{0n}^2 \left(\frac{t}{\tau} \right) \frac{\lim_{t \rightarrow \infty} ((\omega_{Kn} - \omega)t/e)}{((\omega_{Kn} - \omega)t/e)^2}$$

$$|a_{nK}(t)| = \left(\frac{e}{h} \right)^2 |X_{Kn}|^2 E_{0n}^2 F(\omega, t)$$

Emission (induite)



$|\omega_{Kn} - \omega| \gg 1 \Rightarrow 2^{\text{eme}} \text{ terme négligeable.}$

Les Coefficients d'Einstein

Les premières transitions s'accompagnent d'absorption d'énergie du champ caractérisent par le coefficient B_{nm} ; les secondes s'effectuent sous l'action du champ (émission forcée) et spontanément (émission spontanée) se caractérisent respectivement par les coefficients B_{mn} et A_{mn} , avec les relations statistiques

suivante B_{nm}

d'une part,

la radiation se caractérise par une densité volumique f , qui représente la valeur moyenne de la densité de l'énergie d'un champ électromagnétique

$$f_0 = \frac{1}{8\pi} (\bar{E}_x^2 + \bar{H}_y^2) = \frac{1}{4\pi} \bar{E}_x^2$$

par suite de l'isotropie $\Rightarrow \bar{E}_{x_2}^2 = \bar{E}_{y_2}^2 = \bar{E}_{z_2}^2 = \frac{1}{3} \bar{E}_x^2$. Or $\bar{E}_{0,n} = \bar{E}_{0,m} \cos 2\pi\nu t$

d'où $A_{mn} = \frac{3}{8\pi} \bar{E}_x^2 \Rightarrow$ pour une onde EM polarisée $\Rightarrow f_0(\omega) = \frac{3}{4\pi} \bar{E}_x^2$

en d'autre part, pour obtenir une probabilité de transition complète concernant toute la largeur de la raie, on doit intégrer l'expression de $|a_{n,k}|^2$ sur toutes les fréquences.

$$|a_{n,k}|_{\text{total}}^2 = \int_{-\infty}^{+\infty} |a_{n,k}|^2 d\omega = \int_{-\infty}^{+\infty} \left(\frac{e}{h} \right)^2 |X_{k,n}|^2 \frac{8\pi}{3} \int_0^\infty f(\omega, t) dt d\omega.$$

$$\int F(\omega, t) dt = \int \frac{t^2}{4} \cdot \frac{\sin^2((\omega_{k,n} - \omega) \frac{t}{\tau_n})}{[(\omega_{k,n} - \omega) \frac{t}{\tau_n}]^2} dt = \frac{\pi}{4} \cdot \frac{\pi}{\tau_n^2} \cdot \frac{1}{2} \int_0^\infty \frac{\sin^2 u}{u^2} du = \frac{\pi}{4} \cdot \frac{\pi}{\tau_n^2} \cdot \frac{1}{2} = \frac{\pi^2}{32} \cdot \frac{1}{\tau_n^2}$$

$$\Rightarrow |a_{n,k}|^2 = \frac{e^2}{h^2} |X_{k,n}|^2 \frac{8\pi}{3} \frac{\pi^2}{4} \cdot \frac{1}{\tau_n^2} = \frac{2e^2 \pi}{3h^2} |X_{k,n}|^2 \cdot \frac{\pi^2}{\tau_n^2} \cdot t$$

D'où la probabilité de transition complète (radiation non polarisée) est égale

$$|a_{n,k}|^2 = \frac{2\pi}{3h^2} \cdot \frac{1}{2} [e^2 |X_{k,n}|^2 + |Y_{k,n}|^2 + |Z_{k,n}|^2] \cdot \frac{1}{\tau_n^2} \cdot t = \frac{2\pi}{3h^2} |e^* \tau_n|^2 \beta^2 t$$

pour la théorie d'Einstein pour une m. prob on avait écrit. $B_{n,m} = \beta \cdot B_{m,n}$

$$\therefore R = \frac{2\pi}{3h^2} |e^* \tau_n|^2$$

$e\Gamma_{nk}$ est une expression du moment dipolaire.

et le coefficient B_{nk} caractérise la prob de transition en absorption qui peut être relié, à l'équilibre thermodynamique, au coef. A_{kn} qui caractérise de son tour le prob de transition d'une émission spontanée. Comme :

$$A_{nk} = \frac{16\pi^2 h \nu^3}{c^3} B_{nk}.$$

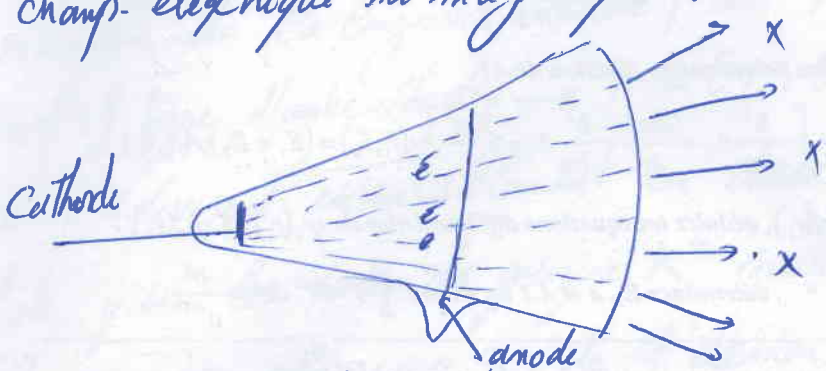
En y partant de B_{nk} ; on trouve :

$$A_{nk} = \frac{32\pi^2 \nu^3}{3h c^3} / |e\Gamma_{nk}|^2.$$

Chapitre IV : Les rayons X

IV.1 production des rayons X et loi de Moseley:

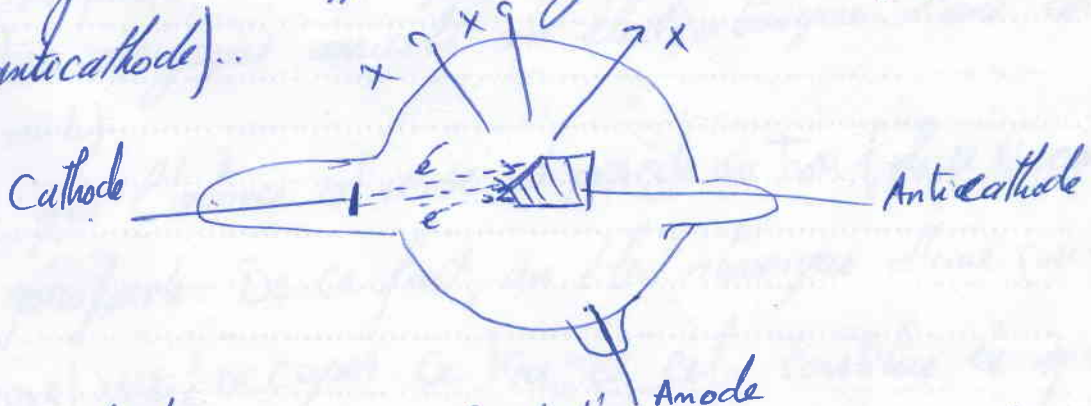
→ 1895 : Röntgen découvre les rayons X, et explique qu'au voisinage d'une ampoule à rayons cathodiques une plaque photographique est impressionnée au travers d'un papier noir. Il constate également que ces rayons ne sont divisés ni par un champ électrique ni magnétique.



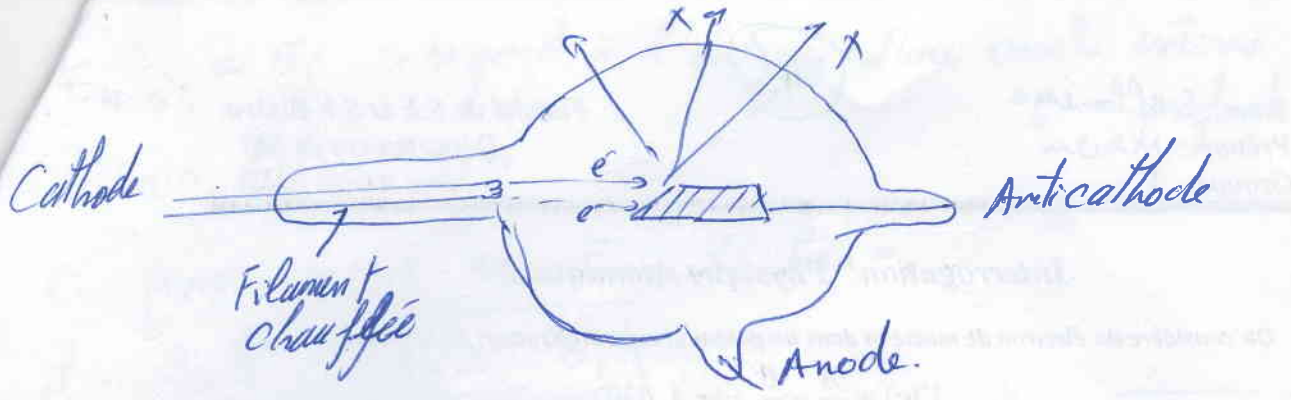
1896 : Gouy fait l'hypothèse que les rayons X sont de nature ondulatoire

: Imbert et Bertin (étudier la réflexion des rayons X). Constatent qu'ils sont réémis dans toutes les directions; indépendamment du miroir réfléchissant (diffusion d'un brouillard).

1900 : Crookes propose un modèle plus perfectionné que celui de Röntgen. (en ajoutant un anticathode); il permet, en changeant d'anticathode, d'obtenir des rayons X de différentes longueurs d'onde (dépend de la substance d'anticathode).



1913 : Coolidge perfectionne encore le tube de Crookes, en introduisant une cathode chauffée; Ce dispositif permet donc beaucoup mieux de contrôler le faisceau de rayons X émis.



Henry, Moseley entreprend alors une étude systématique du "spectre" (étude en fonction de la longueur d'onde λ des X émis pour 38 éléments différents (38 type d'anticathodes $\rightarrow \lambda \in [0,4,8] \text{ \AA}$), il remarque des raies qui se divisent essentiellement en deux groupes : K et L.
il constate que les raies du groupe K" ont une variation régulière avec le numéro atomique Z de l'élément :

$$\nu = k^2 (Z - \delta)^2$$

où k et δ sont des constantes.

IV Production des rayons X

L'interprétation de la production des rayons X est un peu plus compliquée car le processus résulte de la collision d'un électron à plusieurs électrons.

Le mécanisme se passe en deux étapes :

- un électron très énergétique arrache un électron atomique d'une couche profonde (K ou L).
- il en résulte que l'atome est ionisé et possède un trou (place vacante) sur cette couche profonde. De ce fait, un électron atomique d'une couche externe ($n \gg 1$) vient occuper ce trou et cela constitue le spectre X de raies.

on a : $h\nu = E_{n \gg 1} - E_1$ (le photon X émis).

$E_{n \gg 1} = E_i$ correspond à l'énergie d'une couche externe.
 $E_1 = E_f = \dots$ " " " " profonde. (K).

or : puisque $n \gg 1 \Rightarrow E_{n \gg 1} \ll E_1 =$

il en résulte : $\hbar\mathcal{D} \approx -E_1.$

Pour un atome à z électrons $\Rightarrow E_p = -z \frac{k e^2}{r} \Rightarrow E_i = -\frac{z^2 k e^2}{2 r}$

D'après le principe fondamental : $F_e = F_n \Rightarrow z \frac{q^2}{r^2} = m \frac{V^2}{r}$.

$$\Rightarrow r_n = n^2 \frac{\hbar^2}{2 m k e}$$

$$\text{Donc, } E_n = -\frac{z^2}{n^2} \cdot \frac{m k e^2}{2 \hbar^2}$$

l'énergie de liaison d'un élect. de la couche K ($n=1$).

$$E_1 = -\frac{z^2}{1^2} \cdot \frac{m k e^2}{2 \hbar^2}$$

En pratique, on montre que les autres élects du noyau font "écran" à la charge ze ; pour tenir compte de cet effet, il faut que :

$$ze \rightarrow (z-\delta)e.$$

L'expression de E_1 devient donc : $E_1 = -\frac{m(z-\delta)k^2 e^2}{2 \hbar^2}$

Finalement : $\hbar\mathcal{D} = \frac{m(z-\delta)^2 k^2 e^2}{2 \hbar^2} \Rightarrow \mathcal{D} = \frac{m k^2 e^2}{2 \hbar^2} \cdot (z-\delta)^2$

En comparant avec la loi empirique de Moseley, on trouve :

$$K^2 = \frac{m k^2 e^2}{2 \hbar^2}$$

Les rayons X s'appelle le groupe K.

Le photon X (n'est pas un photon optique) est très énergétique.